



دانشکده مهندسی برق و کامپیوتر

پایان نامه کارشناسی ارشد در رشته مهندسی برق،  
مخابرات سیستم

بررسی و استخراج روش‌های تشخیص کور نوع  
مدولاسیون در یک سیستم چند حاملی متعامد و فقی

توسط:

سیما بحرانی

اساتید راهنما:

دکتر مصطفی درختیان

دکتر علیرضا ذوالقدر اصلی

اسفند ماه 1390

الحمد لله رب العالمين

## اظهارنامه

اینجانب سیما بحرانی (880653) دانشجوی رشته مهندسی برق  
گرایش مخابرات سیستم دانشکده مهندسی برق و کامپیوتر اظهار می  
کنم که این پایان نامه حاصل پژوهش خودم بوده و در جاهایی که از منابع  
دیگران استفاده کرده ام، نشانی دقیق و مشخصات کامل آن را نوشته ام.  
همچنین اظهار می کنم که تحقیق و موضوع پایان نامه ام تکراری نیست و  
تعهد می نمایم که بدون مجوز دانشگاه دستاوردهای آن را منتشر ننموده  
و یا در اختیار غیر قرار ندهم. کلیه حقوق این اثر مطابق با آیین نامه  
مالکیت فکری و معنوی متعلق به دانشگاه شیراز است.

سیما بحرانی



به نام خدا

بررسی و استخراج روش‌های تشخیص کور نوع مدولاسیون در یک سیستم چند حاملی متعامد و فقی

به کوشش

سیما بحرانی

پایان نامه

ارائه شده به دانشکده تحصیلات تکمیلی دانشگاه شیراز به عنوان بخشی  
از فعالیت‌های تحصیلی لازم برای اخذ درجه کارشناسی ارشد

در رشته‌ی:

مهندسی برق - مخابرات سیستم

از دانشگاه شیراز

شیراز

جمهوری اسلامی ایران

ارزیابی کمیته‌ی پایان‌نامه، با درجه‌ی عالی

دکتر مصطفی درختیان، استادیار بخش مخابرات و الکترونیک (رئیس کمیته)

دکتر علیرضا ذوالقدر اصلی، دانشیار بخش مخابرات و الکترونیک (رئیس کمیته)

دکتر عباس شیخی، دانشیار بخش مخابرات و الکترونیک

دکتر محمدعلی مسندی شیرازی، استاد بخش مخابرات و الکترونیک

۱۳۹۰ اسفندماه

تقدیم

به پدر و مادر عزیزم

به پاس محبت‌های بی‌دربیغشان

و خواهر خوبم

به خاطر مهربانی‌هایش

## سپاسگزاری

در اینجا برخود لازم می دانم که از کلیه افرادی که به نحوی مرا در انجام این پایان نامه یاری رساندند، تشکر و قدردانی نمایم. به خصوص از استاد گرامی، جناب آقای دکتر مصطفی درختیان که در تمامی مراحل انجام این پژوهش به اینجانب یاری رساندند و جناب آقای دکتر علیرضا ذوالقدر اصلی که همانند پدری دلسوز با کمکها و راهنمایی های بی دریغ خود، مرا در انجام این پایان نامه همراهی کردند؛ و همچنین آقایان دکتر محمدعلی مستندی شیرازی و دکتر عباس شیخی که همواره راهنمای و مشوق من بوده اند سپاسگزاری می نمایم.

در پایان از همه دوستان عزیزم به خصوص خانمها مرضیه آذرنگ، سعیده مولودی و هدی شارعی که در طول این دوره مرا یاری دادند، خالصانه قدردانی می کنم و از خدای مهریان توفیق روزافزون برای همه آنها خواستارم.

این پایان نامه از حمایت مالی مرکز تحقیقات مخابرات ایران (ITRC) بهره مند گردیده است، که از این مرکز مهم علمی نهایت تشکر را داریم.

## چکیده

### بررسی و استخراج روش‌های تشخیص کور نوع مدولاسیون در سیستم چندحاملی متعامد و فقی

#### توسط

#### سیما بحرانی

یکی از اهداف سیستم‌های مخابراتی بی‌سیم نسل جدید، دست‌یابی به نرخ ارسال داده بالا و هم‌چنین بازده طیفی مناسب در طیف وسیعی از محیط‌های انتشار می‌باشد. رشد سریع ارتباطات بی‌سیم در دهه‌های اخیر، یافتن راه‌های جدید برای بهبود بازده طیفی سیستم را اجتناب‌ناپذیر نموده است. یکی از راه حل‌های مناسب در سیستم‌های چندحاملی مانند OFDM استفاده از مدولاسیون وفقی می‌باشد. در سیستم OFDM وفقی نوع مدولاسیون برای هر یک از زیرحامل‌ها بر اساس وضعیت کanal انتخاب می‌شود. با به کارگیری مدولاسیون وفقی بازده طیفی سیستم به مقدار قابل توجهی بهبود می‌یابد، اما چالش‌های جدیدی ایجاد می‌شود که یکی از مهم‌ترین آنها عدم آگاهی گیرنده از نوع مدولاسیون به کار رفته است. روش مرسوم این است که اطلاعات مربوط به نوع مدولاسیون در خود سمبول‌های ارسالی قرار داده شود، که در این صورت بازده داده به مقدار قابل توجهی کاهش می‌یابد. برای اجتناب از کاهش بازده داده، روش دیگر این است که گیرنده تلاش کند از تکنیک‌های تشخیص کور نوع مدولاسیون استفاده نماید. استفاده از تشخیص کور نوع مدولاسیون به جای علامت‌دهی، باعث افزایش بازده طیفی و بهبود بازده کلی سیستم می‌گردد.

در این پایان‌نامه، به مسئله تشخیص کور نوع مدولاسیون در سیستم OFDM وفقی پرداخته شده است. برای انجام این کار، ابتدا روش‌های موجود بررسی شده و سپس برای بهبود عملکرد تشخیص کور نوع مدولاسیون روشی ارایه شده است که از پیش‌بینی کanal و هم‌چنین از یک روش مؤثر کاهش نویز مشاهدات کanal بهره می‌برد. هم‌چنین برای مقایسه روش‌های مطرح شده، شبیه‌سازی‌های مختلفی انجام شده است. در بخش بعدی پایان‌نامه، به محاسبه تقریبی احتمال خطأ در تشخیص نوع مدولاسیون در یک زیرحامل برای یکی از روش‌های مطرح شده پرداخته شده است.

## فهرست مطالب

1.....	فصل 1 مقدمه
2 .....	1-1- سیستم OFDM
5 .....	1-1-1- باند زمانی محافظ
7 .....	2-1- کanal بیسیم
8 .....	1-2-1- فیدینگ چندمسیره
10.....	2-2-1- مدل کanal
12 .....	1-3- ارتباطات دوطرفه
15 .....	فصل 2 سیستم OFDM وفقی
16 .....	1-2- مدولاسیون چندحاملي متعامد وفقی
18 .....	2-2- سیستم AOFDM
19.....	1-2-2- تخمین وضعیت کanal
21.....	2-2-2- انتخاب پارامترهای مناسب برای ارسال بعدی
27.....	2-2-2- علامت دهی یا تشخیص کور پارامترهای به کار رفته
29 .....	3-2- شبیه‌سازی و نتایج
31 .....	فصل 3 تشخیص کور نوع مدولاسیون در سیستم AOFDM
32 .....	1-3- مقدمه
32 .....	2-3- مدل سیستم
34 .....	3-3- دسته بندی خودکار انواع مدولاسیون
35.....	1-3-3- روش بیشینه کننده نسبت درستنمایی (ML)
35.....	2-3-3- الگوریتم های MAP با استفاده از متقابل بودن کanal
37.....	3-3-3- الگوریتمهای MAP با استفاده از متقابل بودن کanal و آگاهی از نرخ ارسال داده
39.....	4-3-3- الگوریتمهای MinMap و MinML
42 .....	4-3- ارایه روش پیشنهادی
43.....	1-4-3- پیش‌بینی کanal
45.....	2-4-3- پیش‌بینی کanal با استفاده از روش مبتنی بر مدل AR در سیستم OFDM
51.....	3-4-3- تأثیر روش پیشنهادی در تشخیص کور نوع مدولاسیون در سیستم AOFDM
52 .....	5-3- شبیه‌سازی و نتایج
57.....	فصل 4 احتمال خطای دسته‌بندی در یک زیر‌حامل
58 .....	1-4- مقدمه
58 .....	2-4- محاسبه تقریبی احتمال خطای یک زیر‌حامل

61	$P_{10}$	$P_{01}$	1-2-4- محاسبه احتمالهای
63	$P_{02}$	$P_{20}$	2-2-4- محاسبه احتمالهای
66	$P_{12}$	$P_{21}$	3-2-4- محاسبه احتمالهای
69	$P_{24}$	$P_{42}$	4-2-4- محاسبه احتمالهای
75	$P_{04}$	$P_{40}$	5-2-4- محاسبه احتمالهای
80	$P_{14}$	$P_{41}$	6-2-4- محاسبه احتمالهای
97	فصل 5 نتیجه گیری و پیشنهادات		
98	1-5- نتیجه گیری		
98	2-5- پیشنهادات		

## فهرست جدول‌ها

9.....	جدول (1-1) مقدار rms گستره تأخیر کanal برای چندین محیط انتشار.....
26.....	جدول (1-2) الگوریتم EF
27.....	جدول (2-2) الگوریتم‌های ET و BT
27.....	جدول (3-2) الگوریتم Levin-Campello برای معیارهای MA و RA
29.....	جدول (4-2) پارامترهای سیستم OFDM

## فهرست شکل‌ها

3.....	شکل (1-1) چگونگی همپوشانی طیف فرکانسی زیرحامل‌ها در تکنیک OFDM [1]
5.....	شکل (2-1) باند زمانی محافظ [2]
5.....	شکل (3-1) چگونگی حذف ISI با قرار دادن باند زمانی محافظ [2]
7.....	شکل (4-1) ساختار سیستم OFDM
9.....	شکل (5-1) انتشار چندمسیره [4]
12.....	شکل (6-1) انواع ارتباط دوطرفه. شکل سمت راست ارتباط کاملاً دوطرفه و شکل سمت چپ ارتباط نیمه دوطرفه را نشان می‌دهد [7]
13.....	شکل (7-1) روش FDD [8]
13.....	شکل (8-1) روش TDD [8]
17.....	شکل (1-2) تغییرات SNR برای تمام 512 زیرحامل بر حسب زمان، در SNR متوسط 16 dB برای کanal مشخص شده در شکل (2-2) [9]
17.....	شکل (2-2) پاسخ ضربه کanal بی‌سیم داخلی سه‌مسیره WATM [9]
18.....	شکل (3-2) تخصیص بیت در یک مودم AOFDM برای تابع تبدیل کanal شکل (1-2)
20.....	شکل (4-2) دو روش اصلی قرار دادن پایلوت‌ها برای تخمین کanal در سیستم OFDM [19]
28.....	شکل (5-2) علامت‌دهی و یا تشخیص کور نوع مدولاسیون در سیستم AOFDM
30.....	شکل (6-2) مقایسه احتمال خطای سمبل برای دو سیستم OFDM و AOFDM
34.....	شکل (1-3) یک سیستم AOFDM حلقه‌باز در مد TDD [34]
40.....	شکل (2-3) فاصله $\frac{Y_n[k]}{H_n}$ از سمبل $i$ از مدولاسیون 4-QAM
51.....	شکل (3-3) یک سیستم AOFDM حلقه‌باز در مد TDD که از پیش‌بینی کanal استفاده می‌کند
53.....	شکل (4-3) احتمال خطای دسته‌بندی برای 4 روش AMAP-R, AMAP-ML و AMAP-RD1, AMAP-RD2
54.....	شکل (5-3) احتمال خطای دسته‌بندی برای 4 روش MinMAP, MinML, ML و AMAP-R
55.....	شکل (6-3) مقایسه احتمال خطای دسته‌بندی برای روش‌های AMAP-R و AMAP-RD2 بدون پیش‌بینی و همراه با آن
56.....	شکل (7-3) احتمال خطای دسته‌بندی برای در روش AMAP-R بدون پیش‌بینی و همراه با آن، در حالت‌های $f_{dm} = 100Hz$ و $f_{dm} = 20Hz$
61.....	شکل (1-4) منظومه‌های مربوط به BPSK و عدم ارسال و تقسیم صفحه به 2 ناحیه
64.....	شکل (2-4) منظومه‌های مربوط به 4-QAM و عدم ارسال و تقسیم صفحه به 4 ناحیه
67.....	شکل (3-4) منظومه‌های 4-QAM و BPSK و تقسیم صفحه به 4 ناحیه
69.....	شکل (4-4) منظومه‌های 16-QAM و 4-QAM و تقسیم صفحه به 16 ناحیه

75.....	شکل (5-4) منظومه‌های مربوط به 16-QAM و عدم ارسال و تقسیم صفحه به 16 ناحیه
80.....	شکل (6-4) منظومه‌های 16-QAM و BPSK تقسیم صفحه به 16 ناحیه
86.....	شکل (7-4) بر حسب $P_{10}$ در زیرحامن
86.....	شکل (8-4) بر حسب $P_{01}$ در زیرحامن
87.....	شکل (9-4) بر حسب $P_{20}$ در زیرحامن
87.....	شکل (10-4) بر حسب $P_{02}$ در زیرحامن
88.....	شکل (11-4) بر حسب $P_{21}$ در زیرحامن
88.....	شکل (12-4) بر حسب $P_{12}$ در زیرحامن
89.....	شکل (13-4) بر حسب $P_{40}$ در زیرحامن
89.....	شکل (14-4) بر حسب $P_{04}$ در زیرحامن
90.....	شکل (15-4) بر حسب $P_{42}$ در زیرحامن
90.....	شکل (16-4) بر حسب $P_{24}$ در زیرحامن
91.....	شکل (17-4) بر حسب $P_{41}$ در زیرحامن
91.....	شکل (18-4) بر حسب $P_{14}$ در زیرحامن
92.....	شکل (19-4) احتمال تقریبی خطای دسته‌بندی در یک زیرحامن
93.....	شکل (20-4) مقایسه نتایج شبیه‌سازی و تئوری برای احتمال خطای تحت فرض 16-QAM
93.....	شکل (21-4) مقایسه نتایج شبیه‌سازی و تئوری برای احتمال خطای تحت فرض 4-QAM
94.....	شکل (22-4) مقایسه نتایج شبیه‌سازی و تئوری برای احتمال خطای تحت فرض BPSK
94.....	شکل (23-4) مقایسه نتایج شبیه‌سازی و تئوری برای احتمال خطای تحت فرض عدم ارسال

# فصل اول

## مقدمه

### 1-1 - سیستم OFDM

ارتباطات با نرخ ارسال داده بالا، نه تنها توسط نویز بلکه به وسیله تداخل درون سمبلی<sup>۱</sup> (ISI) نیز محدود می‌شوند. در یک کانال چندمسیره، سمبل ارسالی از چندین مسیر انتشار مختلف توسط گیرنده دریافت می‌شود. چنین کانالی باعث ایجاد پراکندگی زمانی شده و طول زمانی سمبل دریافتی را بسط می‌دهد. این امر باعث می‌شود سمبل دریافتی با سمبل‌های دریافتی قبلی همپوشانی پیدا کند، که در نتیجه آن ISI رخ می‌دهد.

به عنوان یک قانون کلی، اگر گستره تأخیر<sup>۲</sup> کانال ( $\tau_{ds}$ ) خیلی کمتر از طول سمبل ارسالی ( $T_s$ ) باشد، میزان تأثیر ISI ناچیز است. این امر نشان می‌دهد که نرخ ارسال سمبل توسط طول کانال محدود می‌شود. اگر بخواهیم با نرخی بیش از این حد سمبل‌ها را ارسال نماییم باید از روش‌های مقابله با تأثیر ISI مانند جبران‌سازی کانال استفاده کنیم. هرچه نرخ ارسال داده افزایش یابد میزان ISI نیز بیشتر شده و در نتیجه جبران‌سازی کانال پیچیده‌تری مورد نیاز است.

اما روش دیگری برای ارسال داده در کانال چندمسیره وجود دارد که همان استفاده از تکنیک مدولاسیون چندحاملي<sup>۳</sup> (MCM) می‌باشد. در این روش، سمبل‌های ارسالی با استفاده از چندین فرکانس حامل که به طور همزمان مدوله می‌شوند ارسال می‌گردد. در مدولاسیون چندحاملي، رشته داده با نرخ ارسال بالا به  $N$  تا رشته داده با نرخ ارسال پایین‌تر تقسیم می‌شود به گونه‌ای که  $\tau_{ds} \gg NT_s$  باشد. سپس، این رشته‌های داده در  $N$  تا زیرکانال موازی ارسال می‌گردد. مدولاسیون چندحاملي متعدد<sup>۴</sup> (OFDM) نوع خاصی از مدولاسیون چندحاملي می‌باشد.

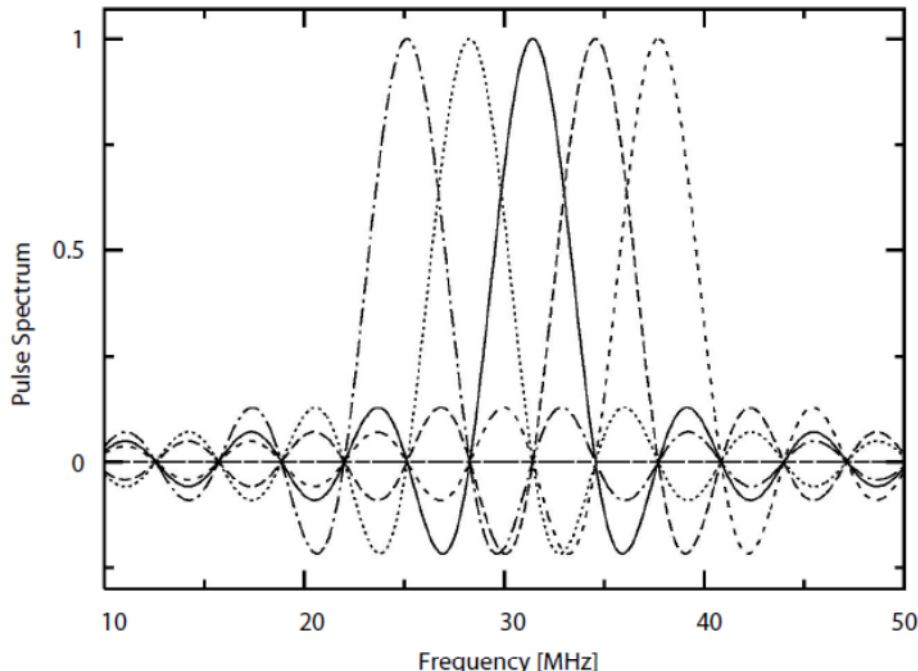
<sup>1</sup> Inter-symbol interference

<sup>2</sup> Delay spread

<sup>3</sup> Multicarrier modulation

<sup>4</sup> Orthogonal frequency division multiplexing

باشد که در آن زیرحاملا در عین همپوشانی طیف فرکانسی‌شان با یکدیگر، بر یکدیگر عمود هستند. شکل (1-1) چگونگی همپوشانی طیف فرکانسی زیرحاملا را نشان می‌دهد. تعداد زیرحاملا،  $N$ ، به گونه‌ای انتخاب می‌شود که پهنه‌ای باند هر زیرکanal کوچکتر از پهنه‌ای باند همدوسی<sup>۵</sup> ( $B_c$ ) کanal باشد. در این صورت می‌توان کanal فرکانس‌گزین را به مجموعه‌ای از زیرکanal‌های دارای فیدینگ تخت تبدیل کرد.



شکل (1-1) چگونگی همپوشانی طیف فرکانسی زیرحاملا در تکنیک [1] OFDM.

فرض کنید مجموعه  $\{S_k\}_{k=0}^{N-1}$ ، سمبول‌های ارسالی باشند که قرار است با استفاده از تکنیک OFDM ارسال شوند. سیگنال OFDM را می‌توان به صورت زیر بیان کرد:

$$s(t) = \sum_{k=0}^{N-1} S_k e^{j2\pi f_k t} = \sum_{k=0}^{N-1} S_k \varphi_k(t) \quad , 0 \leq t \leq T_s \quad (1-1)$$

و  $f_k = f_0 + k\Delta f$  که

$$\varphi_k(t) = \begin{cases} e^{j2\pi f_k t} & 0 \leq t \leq T_s \\ 0 & \text{otherwise} \end{cases} \quad (2-1)$$

---

<sup>5</sup> Coherence bandwidth

$T_s$  و  $\Delta f$  به ترتیب طول سمبول و فاصله زیرکانال می‌باشند. برای آن که گیرنده بتواند دمودولاسیون را صورت دهد باید  $T_s \Delta f = 1$  باشد که این شرط، شرط تعامد نامیده می‌شود. تحت این شرط می‌توان نتیجه گرفت که مجموعه  $\{\varphi_k(t)\}_{k=0}^{N-1}$  مجموعه‌ای از توابع تعامد می‌باشد. با استفاده از این خاصیت، می‌توان دمودولاسیون را برای سیگنال OFDM به صورت زیر انجام داد:

$$\frac{1}{T_s} \int_0^{T_s} s(t) e^{-j2\pi f_k t} dt = \frac{1}{T_s} \int_0^{T_s} \left( \sum_{l=0}^{N-1} S_l \varphi_l(t) \right) \varphi_k^*(t) dt = S_k \quad (3-1)$$

برای پیاده سازی مناسب سیستم OFDM از عکس تبدیل فوریه گسسته (IDFT) و تبدیل فوریه گسسته (DFT) استفاده می‌شود. در قسمت قبل گفته شد که سیگنال OFDM را می‌توان به صورت رابطه (1-1) بیان کرد. اگر از  $s(t)$  با بازه نمونهبرداری  $T_{sa} = \frac{T_s}{N}$  نمونهبرداری شود داریم :

$$s_n = \sum_{k=0}^{N-1} S_k e^{j2\pi f_k \frac{nT_s}{N}} \quad (4-1)$$

بدون از دست دادن کلیت مسئله،  $f_0 = 0$  در نظر می‌گیریم. در این صورت  $f_k T_s = k$  شده و رابطه (4-1) به صورت زیر در می‌آید:

$$s_n = \sum_{k=0}^{N-1} S_k e^{j2\pi kn \frac{1}{N}} = IDFT\{S_k\} \quad (5-1)$$

در نتیجه، فرستنده سیستم OFDM را می‌توان با استفاده از IDFT پیاده‌سازی کرد. به همین صورت، گیرنده را هم می‌توان با استفاده از DFT پیاده‌سازی نمود. همچنین می‌توان از الگوریتم‌های FFT و IFFT برای پیاده‌سازی مناسب و با پیچیدگی کم DFT و IDFT استفاده نمود.

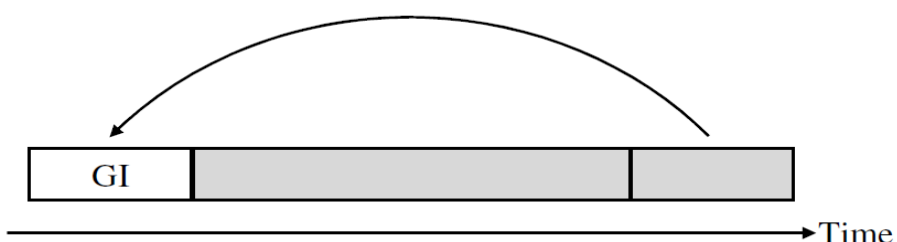
در نتیجه، برای تولید سمبول OFDM، روی N تا سمبول ارسالی که از یک منظومه سیگنال مناسب مانند PSK یا QAM یا IFFT N-نقاطه‌ای صورت می‌گیرد. برای حذف ISI، یک باند زمانی محافظه<sup>6</sup> نیز به ابتدای هر سمبول OFDM افروزده می‌شود که در قسمت بعد بیشتر توضیح می‌دهیم.

---

<sup>6</sup> Guard interval

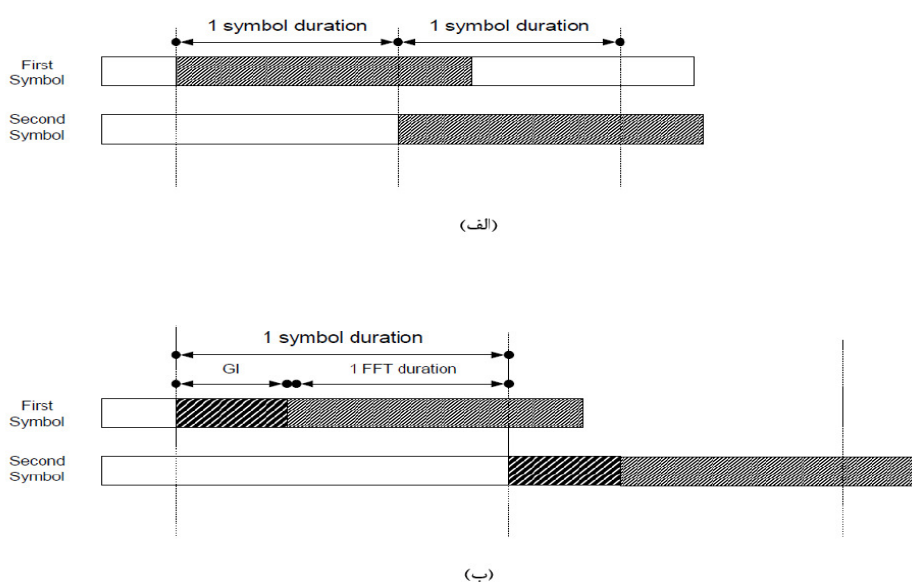
### 1-1-1- باند زمانی محافظ

همان طور که در قسمت قبل گفته شد، مزیت مهم OFDM این است که طول سمبول OFDM در مقایسه با سمبول های داده بیشتر است. اگر مدت زمان داده نمونه برداری شده  $T$  و تعداد زیر حامل ها  $N$  باشد، طول سمبول OFDM برابر  $T_s = NT$  خواهد بود. در نتیجه میزان تأثیر ISI کاهش می یابد. علاوه بر آن، برای کاهش بیشتر ISI به ابتدای هر سمبول OFDM یک باند زمانی محافظ مطابق شکل (2-1) اضافه می شود. این باند زمانی در گیرنده و قبل از اعمال FFT حذف می گردد.



شکل (2-1) باند زمانی محافظ [2].

با توجه به شکل زیر می توان گفت اگر طول باند زمانی محافظ از گستره تأخیر کanal بیشتر باشد ISI به طور کامل حذف می گردد.



شکل (3-1) چگونگی حذف ISI با قرار دادن باند زمانی محافظ [2]

مؤثرترین روش اضافه کردن باند زمانی محافظت این است که بخشی از انتهای سمبول OFDM به ابتدای همان سمبول اضافه شود. به این روش گسترش تناوبی<sup>7</sup> و به باند زمانی محافظت در این حالت پیشوند تناوبی<sup>8</sup> (CP) گویند. استفاده از پیشوند تناوبی با طول مناسب، علاوه بر حذف ISI باعث تبدیل کانولوشن خطی به کانولوشن چرخشی در رابطه بین ورودی و خروجی می‌شود [2].

این به آن معنی است که با اضافه کردن پیشوند تناوبی با طول مناسب در فرستنده و حذف آن در گیرنده، رابطه بین سمبول ارسالی قبل از اضافه کردن پیشوند (s) و سمبول دریافتی پس از حذف پیشوند (y) به صورت کانولوشن چرخشی خواهد بود. به عبارت دیگر می‌توان گفت:

$$y[n] = s[n] \otimes h[n] \quad (6-1)$$

که  $\otimes$  نشان‌دهنده عملگر کانولوشن چرخشی می‌باشد. اهمیت این مسئله از آنجا ناشی می‌شود که اگر از طرفین رابطه بالا DFT بگیریم، در حوزه فرکانس یک ضرب ساده خواهیم داشت:

$$DFT\{y[n]\} = DFT\{s[n]\}.DFT\{h[n]\} \quad (7-1)$$

و یا به طور ساده‌تر

$$Y[m] = S[m].H[m] \quad m = 0, \dots, N-1 \quad (8-1)$$

که  $H[m]$  پاسخ فرکانسی کanal می‌باشد. این رابطه نشان می‌دهد که هر سمبول ورودی  $S[m]$  تنها در یک مقدار مختلط  $H[m]$  ضرب شده است. پس بازیابی سمبول‌های ورودی به سادگی و با استفاده از رابطه زیر صورت می‌گیرد:

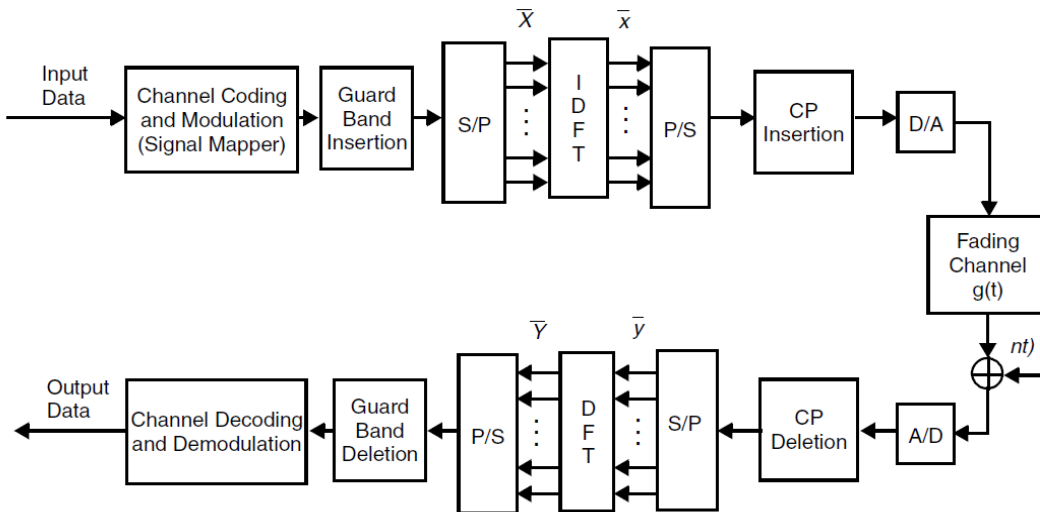
$$\hat{S}[m] = \frac{Y[m]}{H[m]} \quad (9-1)$$

شکل (4-1) ساختار سیستم OFDM را نشان می‌دهد.

---

<sup>7</sup> Cyclic extention

<sup>8</sup> Cyclic prefix



شکل (4-1) ساختار سیستم OFDM

یکی از خصوصیات مهم تکنیک OFDM انعطاف‌پذیری آن در تعیین پارامترهای ارسال هر یک از زیرحامل‌ها می‌باشد. در یک سیستم OFDM، لزومی ندارد نوع مدولاسیون تمام زیر- حامل‌ها یکسان باشد و می‌توان نوع مدولاسیون زیرحامل‌ها را بر اساس وضعیت کanal تعیین نمود. در فصل بعد در این باره بحث خواهیم کرد.

## 2-1- کanal بی‌سیم<sup>9</sup>

در کanal‌های بی‌سیم وضعیت کanal ممکن است در مدت زمان بسیار کوتاهی تغییر کند. این رفتار تصادفی و پیچیده کanal‌های بی‌سیم ارتباط روی چنین کanal‌هایی را سخت و محدودیت- های اساسی را به سیستم‌های مخابرات سیار اعمال می‌کند. چندین دسته‌بندی متفاوت برای کanal‌های بی‌سیم وجود دارد که یکی از مهم‌ترین آنها بر اساس محیط انتشار می‌باشد. محیط- های انتشار مختلفی مانند شهری<sup>10</sup>، حومه شهر<sup>11</sup>، داخلی<sup>12</sup> و زیر آب<sup>13</sup> شناسایی شده‌اند که با هم تفاوت‌های اساسی دارند.

<sup>9</sup> Wireless channel

<sup>10</sup> urban

<sup>11</sup> suburban

<sup>12</sup> indoor

<sup>13</sup> underwater

یک مدل مناسب برای کanal رادیویی بستگی بسیار زیادی به کاربرد موردنظر و محیط انتشار دارد. برای کاربردهای مختلفی مانند سیستم مخابرات سیار سلولی، شبکه بی‌سیم شهری و شبکه بی‌سیم محلی مدل‌های متفاوتی ارایه شده است. اما به طور کلی می‌توان مشخصه‌های انتشار کanal رادیویی را به‌وسیله سه پدیده مستقل توصیف کرد: تضعیف مسیر<sup>۱۴</sup>، سایه‌سازی<sup>۱۵</sup> و فیدینگ چندمسیره<sup>۱۶</sup> [3]. تضعیف مسیر پدیده‌ای غیر آماری بوده و به فاصله بین فرستنده و گیرنده بستگی دارد. اما سایه‌سازی و فیدینگ چندمسیره پدیده‌های تصادفی می‌باشند. در ادامه فیدینگ چندمسیره را توضیح می‌دهیم.

### 1-2-1- فیدینگ چندمسیره

در یک محیط انتشار رادیویی، امواجی که به آنتن گیرنده می‌رسند دارای دامنه و فاز تصادفی و همچنین جهت‌های مختلف می‌باشند. همچنین به علت تفاوت طول مسیرهای مختلف این امواج با تأخیرهای مختلفی نسبت به سیگнал اصلی به گیرنده می‌رسند. از آنجا که طول موج نسبتاً کوتاه است، تغییرات کمی در مکان فرستنده، گیرنده و اجسام موجود در محیط تغییرات زیادی را در فاز این امواج ایجاد می‌کند. در نتیجه، مجموع امواج صفحه‌ای که به آنتن گیرنده می‌رسند می‌توانند همدیگر را تقویت نموده و یا بر عکس اثر یکدیگر را کم کنند. این امر موجب می‌شود دامنه سیگнал دریافتی تغییرات زیادی داشته باشد. شکل (1-1) انتشار چندمسیره را نشان می‌دهد.

فیدینگ چندمسیره کanalی را نتیجه می‌دهد که در هر دو حوزه زمان و فرکانس پراکندگی ایجاد می‌کند. پراکندگی در حوزه زمان به این علت ایجاد می‌شود که مؤلفه‌های چندمسیره به دلیل تفاوت در طول مسیرهای مختلف با تأخیرهای مختلفی به آنتن گیرنده می‌رسند. پراکندگی زمانی کanal توسط پارامتر گستره تأخیر که آن را با  $\tau_{ds}$  نشان می‌دهیم توصیف می‌شود. از آنجا که پراکندگی زمانی کanal باعث ایجاد تداخل درون سمبلی (ISI) می‌گردد، گستره تأخیر کanal بی‌سیم از پارامترهای مهم در طراحی سیستم مخابرات سیار می‌باشد.

<sup>14</sup> Path loss

<sup>15</sup> shadowing

<sup>16</sup> Multipath fading